

АСИММЕТРИЯ СЕЧЕНИЯ ИНКЛЮЗИВНОГО ФОТОРАСЩЕПЛЕНИЯ ЯДРА ЛИТИЯ-6 ЛИНЕЙНО-ПОЛЯРИЗОВАННЫМИ ФОТОНАМИ

В.Б.Ганенко, В.А.Гущин, Ю.В.Жебровский, Л.Я.Колесников,
А.Л.Рубашкин, П.В.Сорокин

На пучке линейно-поляризованных монохроматических фотонов измерена асимметрия сечений инклюзивного процесса $\gamma^6\text{Li} \rightarrow p\chi$ для угла вылета протонов 90° в лаб. системе при энергиях фотонов 60, 140, 300 МэВ. Обнаружена заметная асимметрия, энергетическая зависимость которой совпадает с энергетической зависимостью асимметрии реакции $\gamma d \rightarrow pn$.

В последнее время возрос интерес к исследованию инклюзивных фотопроцессов на легких ядрах в промежуточной области энергий. Прогресс в таких исследованиях и интерес к ним связан с созданием на многих электронных ускорителях интенсивных пучков монохроматических фотонов с энергетическим разрешением $\sim 1 \div 2\%$. Такие пучки дают возможность более четко определять механизм поглощения фотонов атомными ядрами, получить сведения о структуре ядер, волновых функциях нуклонов и их ассоциаций в ядрах и т.д.

Накопленная в настоящее время информация указывает на то, что в области энергий фотонов выше гигантского дипольного резонанса, но ниже порога фотообразования пионов, выход протонов и протон-нейтронных пар можно объяснить на основе модели Левинжера¹, в которой предполагается, что фотон в ядре поглощается связанный (p, n) парой. Кинематические критерии, указывая на определенный механизм фотопоглощения, например¹, не определяют, как правило, спинового состояния нуклонной корреляции, которое, вообще говоря, может быть различным.

Чувствительным и новым инструментом определения механизма поглощения фотонов ядрами, позволяющим кроме того исследовать и состояние нуклонной ассоциации, может служить асимметрия сечений инклюзивного процесса:

$$\Sigma = (\sigma_{\parallel} - \sigma_{\perp}) / (\sigma_{\parallel} + \sigma_{\perp}), \quad (1)$$

где $\sigma_{\parallel(\perp)} = d\sigma_{\parallel(\perp)}(\theta, p, E_{\gamma})/d\Omega dP$ – дифференциальное сечение реакции, обусловленное линейно-поляризованными фотонами с вектором поляризации направленным параллельно (перпендикулярно) плоскости реакции. P и θ – импульс и угол вылета регистрируемой частицы. Ранее такие экспериментальные исследования не проводились.

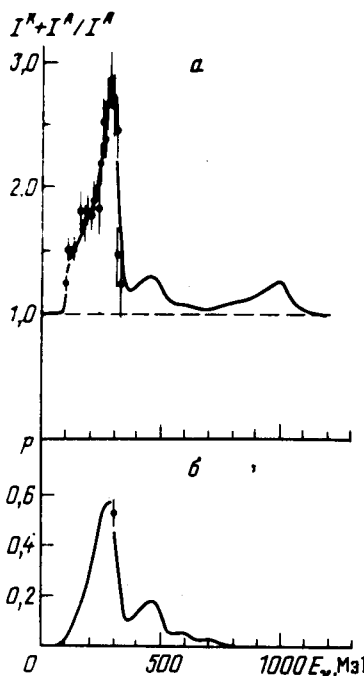


Рис. 1. *a* – Энергетическое распределение отношения интенсивностей когерентного и некогерентного тормозного излучения. I^K и I^A – интерференционная и неинтерференционная части КТИ, соответственно. $E_0 = 1200$ МэВ, $E_{\gamma} = 300$ МэВ. Точки – экспериментально измеренный спектр КТИ, кривая – расчет по теории КТИ. *б* – Расчетная энергетическая зависимость поляризации КТИ. Точка – экспериментальное значение поляризации, определенное согласно методу ²

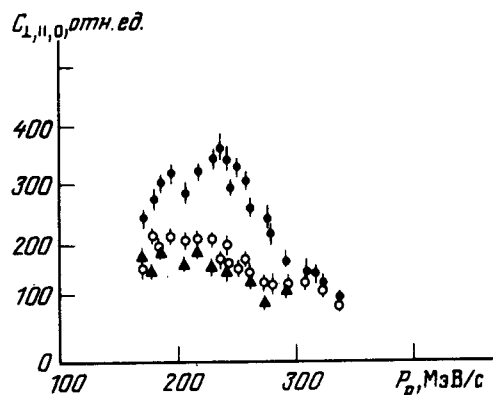


Рис. 2

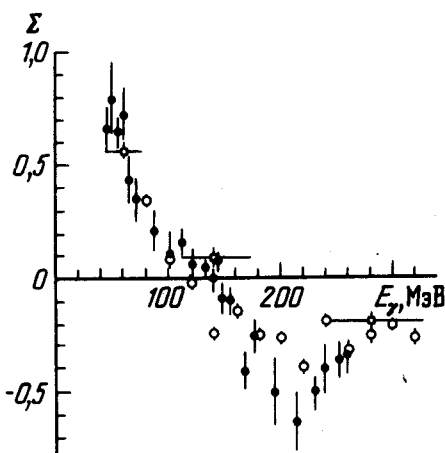


Рис. 3

Рис. 2. Спектральное распределение протонов из реакции (2), $E_{\gamma} = 60$ МэВ, $E_0 = 600$ МэВ: \diamond – $C_{\parallel}(\theta, P, E_{\gamma})$; ϕ – $C_{\perp}(\theta, P, E_{\gamma})$; \downarrow – $C_0(\theta, P, E_{\gamma})$

Рис. 3. Энергетическая зависимость асимметрии: ϕ – реакция $\gamma^6\text{Li} \rightarrow px$; ϕ – реакция $\gamma d \rightarrow pn$, ϕ – результаты измерений ² для $\theta = 105^\circ$ в СЦИ, $\gamma d \rightarrow pn$

В настоящей работе представлены результаты измерений асимметрии сечений реакции



для угла вылета протонов $\theta = 90^\circ$ в лаб. системе на линейно-поляризованном монохромати-

ческом пучке фотонов Харьковского линейного ускорителя электронов ЛУЭ-2000 при энергиях фотонов $E_\gamma = 60, 140$, и 300 МэВ. Исследуемый кинематический диапазон включал область, соответствующую выходу протонов от реакции фоторасщепления дейтрана, $\gamma d \rightarrow pn$.

Монохроматический пучок фотонов получался при когерентном тормозном излучении (КТИ) электронов с энергией, соответственно $600, 1000$ и 1200 МэВ в монокристалле алмаза, толщиной $0,3$ мм. Кристалл был ориентирован в гониометре таким образом, что основной вклад в КТИ вносил один узел обратной решетки (2,0). Спектр фотонов КТИ имеет характерный интерференционный максимум, находящийся на подложке некогерентного (шиффовского) тормозного излучения. Чтобы выделить вклад интерференционной части, проводились в одних и тех же кинематических условиях измерения энергетических распределений протонов на дейтериевой и литиевой мишнях для трех ориентаций кристалла: когда вектор поляризации пучка направлен параллельно, перпендикулярно плоскости реакции и разориентированного кристалла (эквивалент аморфной мишени). В результате вычитания спектральных распределений протонов для ориентированного $C_{\parallel(1)}(\theta, P, E_\gamma)$ и разориентированного $C_0(\theta, P, E_\gamma)$ кристалла получались спектры протонов, обусловленные монохроматическими фотонами. Спектр этих фотонов показан на рис. 1, *a* и соответствует той части спектра КТИ, изображенного на этом рисунке, которая расположена выше пунктирной линии. Сплошной линией приведены результаты расчета по теории КТИ с учетом экспериментальных параметров: коллимации, многократного рассеяния и расходимости электронного пучка, эффективные значения которых находились из условия наилучшего согласия расчета с экспериментальными данными. Ширина интерференционной части пика КТИ на полувысоте составляет $\sim 25\%$. Поток гамма-излучения измерялся квантметром с точностью не хуже 2% . Энергетическая зависимость поляризации рассчитывалась теоретически, рис. 1, *б*. Для проверки расчета величина поляризации в области максимума спектра КТИ определялась экспериментально из измеренных для реакции $\gamma d \rightarrow pn$ выходов $C_{\parallel, \perp, 0}$, согласно методу, описанному в работе ².

Дейтериевая мишень имела форму цилиндра диаметром 20 мм, ось которого была перпендикулярна пучку, толщина литиевой мишени составляла 3 мм. Идентификация протонов осуществлялась двухканальным телескопом сцинтилляционных счетчиков с помощью магнитного анализа и метода dE/dx . Захват по импульсам каждого канала составлял $2,7\%$. Вклад фоновых частиц (π^+, e^+) в измеряемые выходы протонов не превышал $2 \div 3\%$.

Полученные спектральные распределения протонов $C_{\parallel, \perp}(\theta, P, E_\gamma)$ в инклюзивной реакции (2) оказались чувствительны к направлению вектора поляризации пучка, рис. 2. После интегрирования этих распределений по импульсам протонов величина асимметрии реакции (2) выражается через значения проинтегрированных выходов $C_{\parallel, \perp}(\theta, E_\gamma)$

$$\Sigma(\theta, E_\gamma) = \frac{1}{\mathcal{P}} \frac{C_{\parallel}(\theta, E_\gamma) - C_{\perp}(\theta, E_\gamma)}{C_{\parallel}(\theta, E_\gamma) + C_{\perp}(\theta, E_\gamma)},$$

где \mathcal{P} — среднее значение поляризации интерференционной части пучка КТИ, получаемое усреднением расчетного спектрального распределения поляризации. На рис. 3 показаны полученные значения асимметрии вместе с асимметрией реакции $\gamma d \rightarrow pn$, измеренной нами в этих же самых кинематических условиях, и данными работы ². Видно, что асимметрия обоих процессов имеет одинаковое энергетическое поведение и близкую величину. Это обстоятельство указывает на то, что в данных кинематических условиях выход протонов обусловлен, по-видимому, поглощением фотонов связанными нуклонными парами, которые преимущественно находятся в 3S_1 состоянии и волновая функция которых близка к волновой функции реального дейтрана. Эффекты перерассеяния в данном случае не играют существенной роли.

Литература

1. *Levinger J.S. Phys. Rev.*, 1951, 84, 13.
2. *Горбенко В.Г. и др. ЯФ*, 1982, 35, 1073.

**Физико-технический институт
Академии наук Украинской ССР**

**Поступила в редакцию
7 июля 1987 г.**